

Un'espressione approssimata per lo stress intensity factor
di una barra circolare contenente un difetto trasversale
superficiale e caricata a flessione

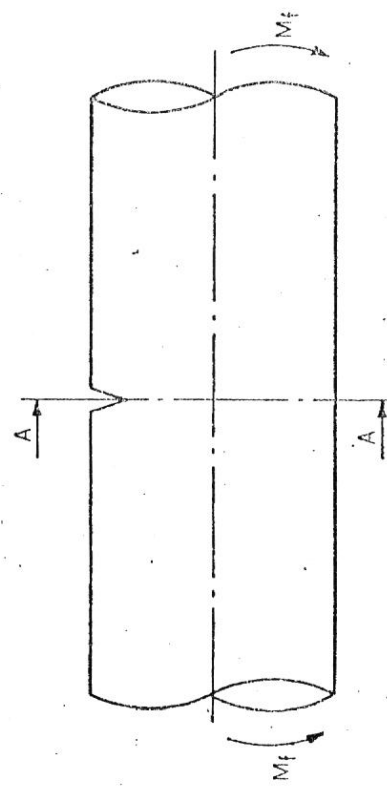
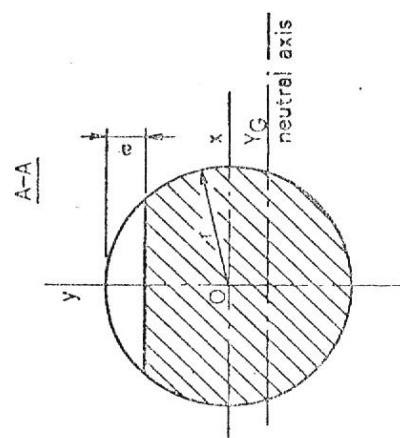
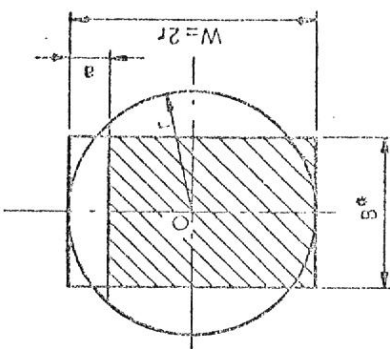
V. Mandorini - R. Cusolito

Istituto Ricerche Breda - Milano

In questo lavoro viene presentata una espressione approssimata per la valutazione dello stress intensity factor di una barra circolare contenente un difetto trasversale superficiale e caricata in flessione.

L'espressione del K_I è stata dedotta da quella relativa ad una barra rettangolare avente dimensioni scelte in maniera opportuna sulla base di semplici considerazioni di resistenza dei materiali.

L'espressione ricavata ha dato risultati soddisfacenti sia ad una verifica sperimentale diretta effettuata su 7 provini, sia al confronto con i valori numerici relativi a questa geometria, riportati in letteratura.



$$K_I = \frac{6M_F}{BW^2} \bar{a}^{1/2} \gamma\left(\frac{\bar{a}}{W}\right) = \sigma_g \bar{a}^{1/2} \gamma\left(\frac{\bar{a}}{W}\right) = \sigma_n \left(1 - \frac{\bar{a}}{W}\right)^2 \bar{a}^{1/2} \gamma\left(\frac{\bar{a}}{W}\right) \quad (1)$$

$$\frac{B^*}{r} = \frac{6}{(1+z)^2} \cdot \frac{\frac{1}{2} \left[\frac{\pi}{4} + \frac{1}{2} \arcsen z + z \left(z^2 - \frac{1}{2} \right) \sqrt{1-z^2} \right] - \frac{4}{9} \cdot \frac{(1-z^2)^3}{\pi - \arccos z + z \sqrt{1-z^2}}}{z + \frac{2}{3} \cdot \frac{(1-z^2)^{3/2}}{\pi - \arccos z + z \sqrt{1-z^2}}} \quad (2)$$

$$\frac{K_I r^{5/2}}{M_F} = \frac{2.985}{(B^*/r)} \sqrt{\frac{\bar{a}}{r}} h\left(\frac{\bar{a}}{r}\right) \quad (3)$$

$$h_p\left(\frac{\bar{a}}{r}\right) = 1 - 0.6206 \left(\frac{\bar{a}}{r}\right) + 1.6294 \left(\frac{\bar{a}}{r}\right)^2 - 1.4554 \left(\frac{\bar{a}}{r}\right)^3 + 0.3789 \left(\frac{\bar{a}}{r}\right)^4 \quad (4)$$

$$h_3\left(\frac{\bar{a}}{r}\right) = 0.9698 - 0.7713 \left(\frac{\bar{a}}{r}\right) + 1.8254 \left(\frac{\bar{a}}{r}\right)^2 - 1.5747 \left(\frac{\bar{a}}{r}\right)^3 + 0.8103 \left(\frac{\bar{a}}{r}\right)^4 \quad (5)$$

$$\frac{Y_G}{r} = -\frac{2}{3} \cdot \frac{(1-z^2)^{3/2}}{\pi - \arccos z + z\sqrt{1-z^2}} \quad (A-1) \quad z = 1 - \frac{a}{r}$$

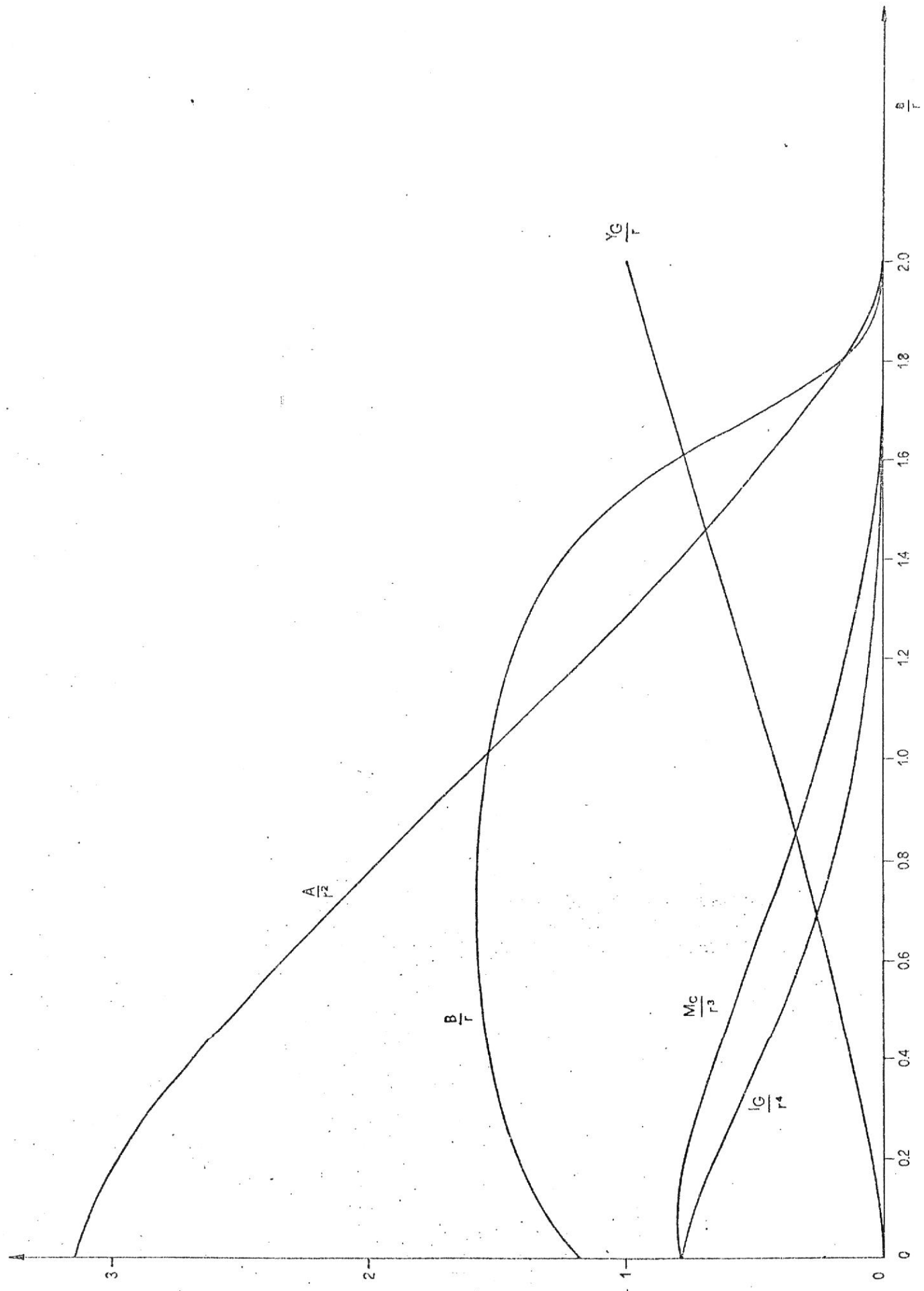
$$\begin{aligned} \frac{I_G}{r^4} &= \frac{I_X}{r^4} - \left(\frac{Y_G}{r}\right)^2 \cdot \frac{A_X}{r^2} = \\ &= \frac{1}{2} \left\{ \frac{\pi}{4} + \frac{1}{2} \arcsen z + z \left(z^2 - \frac{1}{2} \right) \sqrt{1-z^2} \right\} - \frac{4}{9} \cdot \frac{(1-z^2)}{\pi - \arccos z + z\sqrt{1-z^2}} \end{aligned} \quad (A-2)$$

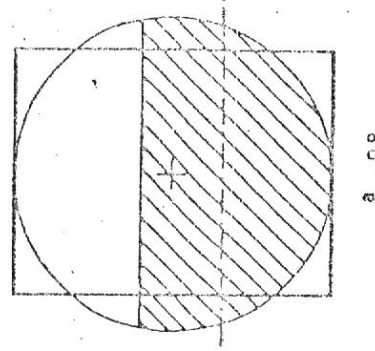
$$\frac{s_c}{r^3} = \frac{\frac{I_G}{r^4}}{z - \frac{Y_G}{r}} \quad (A-3)$$

$$s_r = \frac{Br^2(1+z)^2}{6} \quad (A-4)$$

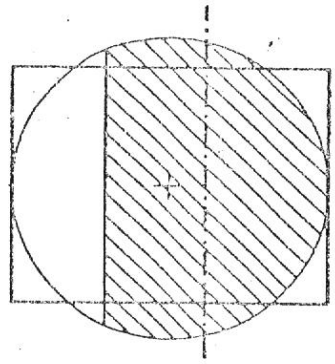
$$\frac{B^*}{r} = \frac{6}{(1+z)^2} \cdot \frac{\frac{1}{2} \left[\frac{\pi}{4} + \frac{1}{2} \arcsen z + z \left(z^2 - \frac{1}{2} \right) \sqrt{1-z^2} \right] - \frac{4}{9} \cdot \frac{(1-z^2)^3}{\pi - \arccos z + z\sqrt{1-z^2}}}{z + \frac{2}{3} \cdot \frac{(1-z^2)^{3/2}}{\pi - \arccos z + z\sqrt{1-z^2}}} \quad (A-5)$$

$$\frac{K_1 r^{5/2}}{M_f} = \frac{2.985}{(B^*/r)} \sqrt{\frac{a}{r}} h\left(\frac{a}{r}\right) \quad (A-7)$$

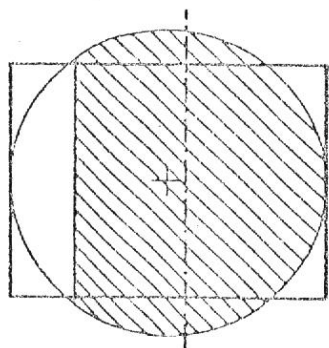




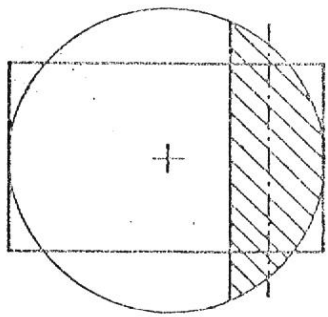
$$\frac{a}{r} = 0.8$$



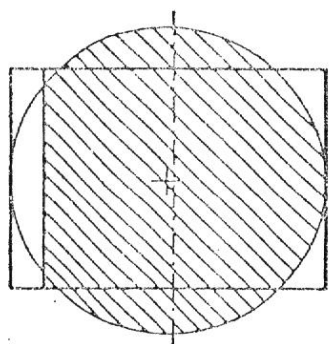
$$\frac{a}{r} = 0.6$$



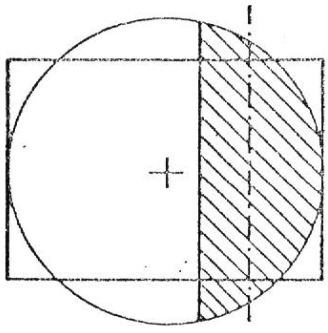
$$\frac{a}{r} \approx 0.4$$



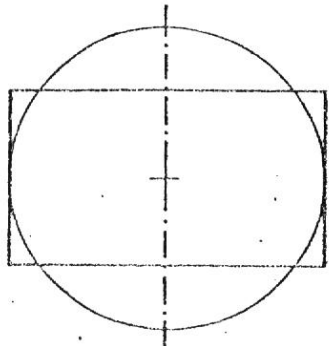
$$\frac{a}{r} = 1.4$$



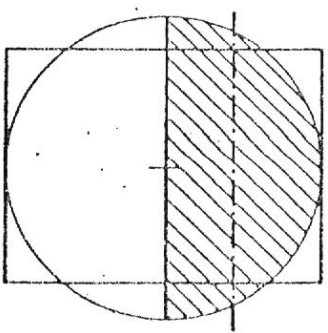
$$\frac{a}{r} = 0.2$$



$$\frac{a}{r} = 1.2$$



$$\frac{a}{r} = 0$$



$$\frac{a}{r} = 1.0$$

fig. 9

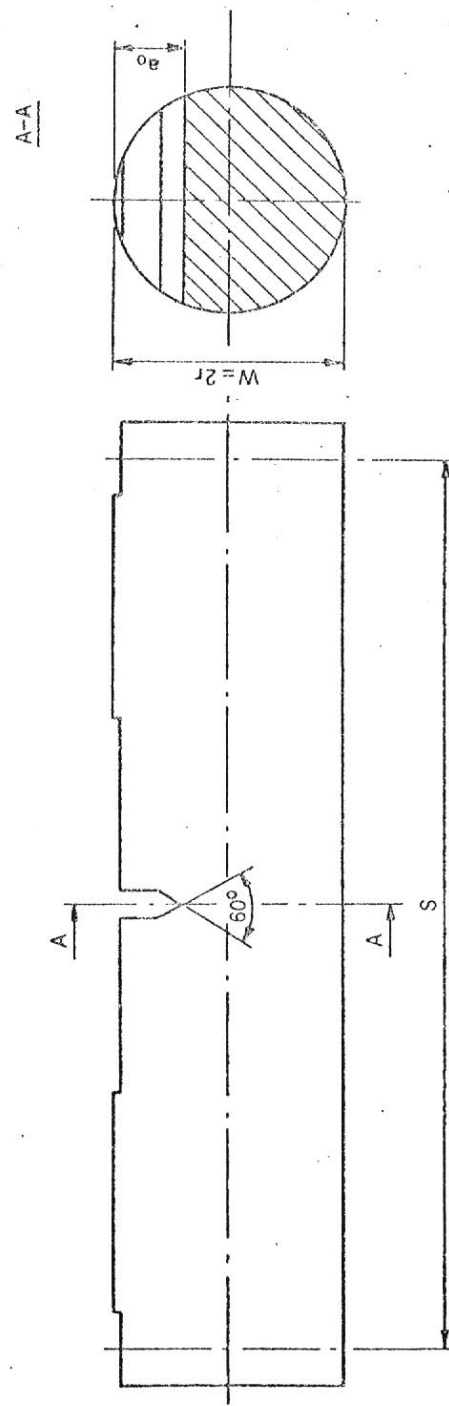


Table 2 - Experimental results

Round bar specimens

n.	$\phi = 2 \pi$ mm	Span S mm	$\frac{a}{\pi}$	K _{Ic} (MPa $\sqrt{\text{m}}$)				Cannon [4]	
				M_f exp N . m	Equation (3)		Bush [6] For $\phi = 3 \pi$		
					Pure bending	3 point bending			
1	30	120	0.645	1112	62.0	57.77	64.3	57.6	
2	30	120	0.778	907	59.9	56.14	62.3	-	
3	30	120	1.083	531	57.5	54.78	59.0	-	
4	45	180	0.661	3360	69.3	64.62	71.9	-	
5	45	180	0.784	2724	65.9	61.70	68.5	-	
6	45	180	1.140	1409	62.0	59.30	63.1	-	
7	60	240	0.968	4539	70.5	66.81	73.8	-	
Average value				63.9	60.16	66.1	60.8	65.3	

Rectangular specimens

n.	BxW mm	S mm	a/W	M_f exp Nm	K _{Ic} (MPa $\sqrt{\text{m}}$)
8	24 x 30	120	0.549	615	61.8
9	36 x 45	180	0.597	1779	77.2
Average value					69.5

